

用 pH 值强化以 NO_2^- 为电子受体的反硝化除磷效能

蒋铁锋， 王志彬

(浙江工业大学 环境学院, 浙江 杭州 310032)

摘要：由于 NO_2^- 的抑制作用及对污水生物除磷具有潜在的危害, 利用 pH 值操作因子对以 NO_2^- 为电子受体的反硝化除磷系统进行优化。结果表明, NO_2^- 代替 NO_3^- 会引起 SBR_{n3} 运行性能的退化, 但其在厌氧段 pH 值提升(从 7.0 ± 0.5 升高至 7.8 ± 0.5)后又获得了一定的恢复, 如厌氧释磷量、缺氧吸磷效率等。受限于 NO_2^- 较低的产能系数及特定反硝化聚磷菌(DPAO)的流失, 经强化的短程反硝化除磷系统虽可趋近于经典的厌氧生化模式, 但仍呈现反硝化聚磷菌/聚糖菌(DPAO/GAO)混合代谢特征, 这也被关联于 pH 值的 $\Delta\text{PO}_4^{3-}/\Delta\text{HAc}$ 计量学系数证实。菌群数量估算结果表明, 微碱性 pH 值的控制策略能促进 DPAO 同时限制 GAO 的生长。

关键词：pH 值； 亚硝酸盐； 反硝化聚磷菌； 聚糖菌； 计量学

中图分类号：TU992 **文献标识码：**A **文章编号：**1000-4602(2019)15-0117-05

Utilization of pH to Enhance Denitrifying Dephospatation with Nitrite as Electron Acceptor

JIANG Yi-feng, WANG Zhi-bin

(College of Environment, Zhejiang University of Technology, Hangzhou 310032, China)

Abstract: In view of the inhibitory effect of NO_2^- and its potential harm to biological phosphorus removal from wastewater, pH was employed as a controller to optimize the denitrifying deposphatation system with NO_2^- as electron acceptor. The results showed that the performance of SBR_{n3} was degraded by replacing NO_3^- with NO_2^- . However, the performance recovered to some extent after the increase of pH value in the anaerobic stage (from 7.0 ± 0.5 to 7.8 ± 0.5), such as anaerobic phosphorus release and anoxic phosphorus uptake, etc. Limited by the lower energy production of NO_2^- and the loss of specific denitrifying phosphate accumulating organisms (DPAO), the enhanced partial denitrifying deposphatation system was close to classic anaerobic biochemical mode. However, it still performed a mixed DPAO/glycogen accumulating organisms (GAO) metabolism, which could be verified by stoichiometric coefficient of $\Delta\text{PO}_4^{3-}/\Delta\text{HAc}$. The estimation of bacterial population showed that the control strategy of a slightly alkaline environment could promote DPAO and restrict GAO growth.

Key words: pH; nitrite; DPAO; GAO; stoichiometry

反硝化除磷技术的发展对于中、低浓度城镇污水的深度处理具有积极意义^[1]。 NO_2^- 是硝化和反

硝化的中间产物, 其对生物除磷的影响日益受到关注^[2-3]。然而, NO_2^- 尤其是游离 HNO_2 (FNA), 会对

基金项目：国家自然科学基金资助项目(51308501)

反硝化聚磷菌(DPAO)及共存聚糖菌(GAO)的合成与分解代谢产生不同的解偶联抑制效应,并引发系统溃败风险^[2,4-5]。当然,这种抑制作用与污泥、水质、pH值等条件有关^[5],通过厌氧/缺氧驯化的DPAO具有利用高浓度NO₂⁻的能力^[2-6]。有研究采用MUCT、(AO)²-SBR、A₂N-SBR^[7]等工艺,实现了对实际低C/N值污水的短程反硝化除磷效果。但与此同时,系统可能存在DPAO多样性减少、GAO富集、N₂O累积(相关还原菌或酶缺失)、效能退化等问题^[2,6]。

现有除磷模型基于对PAO和GAO生化计量学和动力学参数的设置,为系统在工况变化下的菌群调控及运行优化提供助力^[8]。pH值是生物除磷的关键因素,通过联动膜电位、酶活性、NO₂⁻毒性等,对上述菌群(特别是厌氧段)的产能模式及物质转化产生影响^[9]。但先前报道多采用好氧除磷系统来体现该响应关系^[9-10],而笔者以NO₂⁻为电子受

体,通过考察不同pH值下除磷系统长期运行(目前普遍为静态试验^[10])的性能、计量学及菌群变化等,探讨其作为反硝化除磷调控手段的可行性。

1 试验材料和方法

1.1 反硝化除磷系统

以NO₂⁻为受体的SBR反硝化除磷装置(SBR_{n3})在室温下运行,包括瞬时进水、厌氧1.5 h、缺氧2.5 h、沉淀/排水2 h等阶段,厌氧段和缺氧段分别投加乙酸钠和硝酸钠/亚硝酸钠人工配水,HRT、SRT分别为6.7 h和12.5 d。采用0.5 mol/L的HCl或NaOH调节厌氧段pH值,如表1所示。在1~159 d内,装置在pH值为7.0±0.5条件下运行,同时电子受体从NO₃⁻(18 mgN/L)缓慢过渡至NO₂⁻(30 mgN/L,保持受体数量不变),以驯化污泥对高浓度NO₂⁻的利用^[2]。而后提高pH值至7.8±0.5,继续使SBR_{n3}在微碱性环境下运行59 d,同时避免磷酸盐化学沉淀的影响^[10]。

表1 SBR_{n3}运行条件的控制

Tab. 1 Control of operational parameters in SBR_{n3}

运行时间/d		1~60	61~100	101~124	125~159	163~221
厌氧段pH值		7.0±0.5		7.8±0.5		
缺氧段受体/(mgN·L ⁻¹)	NO ₃ ⁻	18	18	18→0	0	0
	NO ₂ ⁻	0	0→30	30	30	30

1.2 试验原水

乙酸钠人工配水含有微生物必需的营养物质和微量元素,每次进水前用放置在冰箱中的浓缩液与蒸馏水调配,原水成分见表2,以提供厌氧段释磷所需的有机底物。缺氧段吸磷所需的电子受体按表1通过一次性滴加硝酸钠/亚硝酸钠溶液获得。

表2 人工配水组分

Tab. 2 Detailed composition of synthetic wastewater

mg·L⁻¹

项目	浓度	项目	浓度
COD(NaAc)	110	Mn(MnCl ₂ ·4H ₂ O)	0.003
N(NH ₄ Cl)	5	Zn(ZnSO ₄ ·7H ₂ O)	0.006
P(KH ₂ PO ₄)	5	Cu(CuSO ₄ ·5H ₂ O)	0.001
K(KCl)	10	H ₃ BO ₃	0.025
EDTA	2	I(KI)	0.025
Mg(MgSO ₄ ·7H ₂ O)	6	Co(CoCl ₂ ·6H ₂ O)	0.008
Ca(CaCl ₂ ·2H ₂ O)	3	Fe(FeCl ₃ ·6H ₂ O)	0.065

1.3 分析项目及测定方法

常规水质指标按照《水和废水监测分析方法》(第4版)进行测定,污泥中聚羟基烷酸[PHA,主要

包括聚羟基丁酸(PHB)和聚羟基戊酸(PHV)]、糖原含量按照文献[11]进行测定,pH值采用WTW MultiLine P3 pH值/Oxi仪器测定。

2 结果与讨论

2.1 pH值对运行性能的影响

图1为不同pH值条件下SBR_{n3}的除磷效果。可知,在pH值为7.0±0.5条件下运行159 d,随着NO₃⁻向NO₂⁻的转变,系统未出现FNA受抑制现象,并稳步形成短程反硝化除磷过程,但磷去除率由于特定DPAO的流失(只能以NO₃⁻为受体),从84%下降至66%,详细内容见文献[2]。从第163天开始,SBR_{n3}在pH值为7.8±0.5条件下运行,可以看出厌氧释磷量呈现缓慢上升的趋势,厌氧末磷酸盐浓度(PO₄³⁻_{ana})由22 mgP/L增加至30 mgP/L左右,同时缺氧末磷酸盐浓度(PO₄³⁻_{ano})从1.7 mgP/L下降到1.1 mgP/L左右,磷去除率回升至78%。分析认为,这与DPAO胞内Poly-P水解机制增强及其在pH值为7.8±0.5条件下比GAO具有更快速的乙酸(HAc)吸收速率有关。

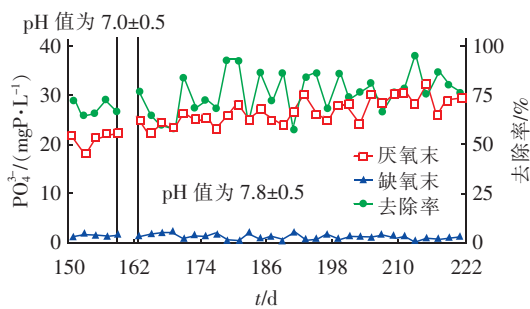
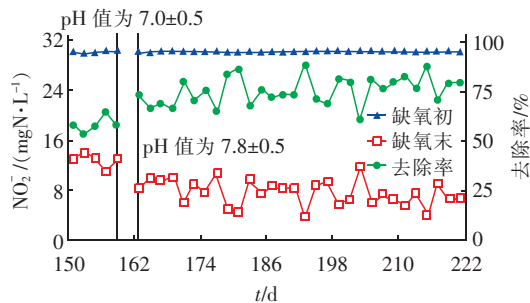
图 1 不同 pH 值条件下 SBR_{n3} 的除磷效果Fig. 1 Removal effect of phosphorus in SBR_{n3} at different pH

图 2 为不同 pH 值条件下 SBR_{n3} 的脱氮效果。可以看出, pH 值的提高导致缺氧末 NO_2^- 浓度 ($\text{NO}_2^-_{\text{ano}}$) 从 12 mgN/L 逐步下降至 6 mgN/L, 受体消耗量的增加表明更多 PHA 在缺氧段被还原。由于聚磷菌对 PHA 的利用多偏向于异化产能, 该结果也暗示了 SBR_{n3} 中 DPAO 的活性增强或糖原代谢途径的削弱。同时, 也使得 NO_2^- 反硝化产能可以更有效地耦合于 PO_4^{3-} 缺氧吸收与 Poly-P 的合成, P/N 值(缺氧吸磷量与受体消耗量之比)相应从 0.16 molP/mole⁻ 升高至 0.18 molP/mole⁻。

图 2 不同 pH 值条件下 SBR_{n3} 的脱氮效果Fig. 2 Removal effect of nitrite in SBR_{n3} at different pH

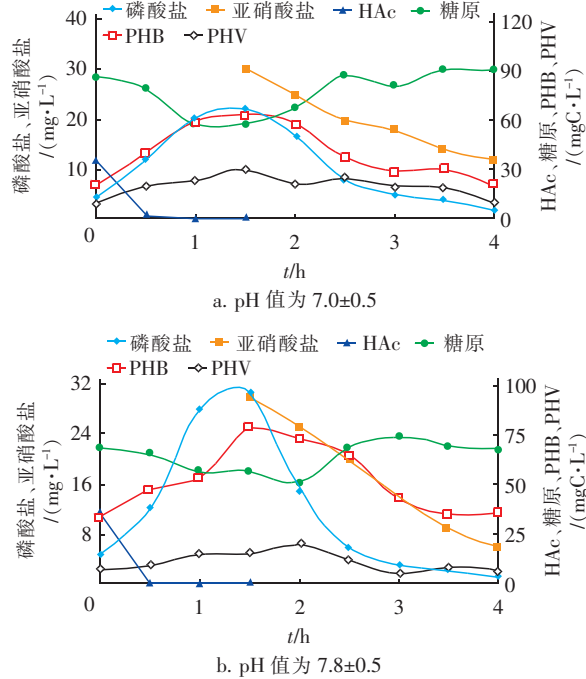
2.2 pH 值对计量学的影响

图 3 为不同稳态 SBR_{n3} 典型运行周期中关键物质的变化。

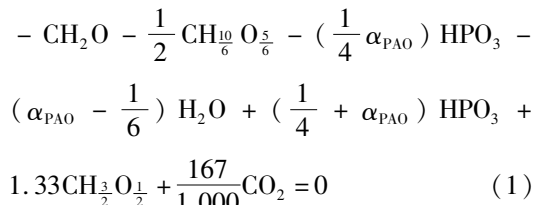
表 3 不同 pH 值下稳态运行 SBR_{n3} 典型运行周期中关键物质数量的变化量Tab. 3 Change of key substances amounts during typical operational cycles in stable SBR_{n3} at different pH

项 目	厌 氧 段			缺 氧 段		
	SBR _{n3} ^[2]	SBR _{n3} ^a	SBR _{n5} ^[2]	SBR _{n3} ^[2]	SBR _{n3} ^a	SBR _{n5} ^[2]
HAc / (mgC · L ⁻¹)	-36	-36	-36	—	—	—
PO ₄ ³⁻ / (mgP · L ⁻¹)	17.6	25.5	30.8	-20.4	28.9	-34.5
糖原 / (mgC · L ⁻¹)	-28.2	-21.3	-18.9	31.3	20.8	21.2
PHB / (mgC · L ⁻¹)	41.7	44.5	48.1	-42.1	-42.8	-45.0
PHV / (mgC · L ⁻¹)	19.5	8.0	3.8	-19.6	-8.6	-4.1

注: 数字前的负号表示物质消耗;^a 表示 SBR_{n3} 在高 pH 值下运行。

图 3 不同稳态 SBR_{n3} 典型运行周期中关键物质的变化Fig. 3 Profiles of key substances during typical operational cycles in different stable SBR_{n3}

从图 3 可以看出, 两种 pH 值条件下系统均表现出短程反硝化除磷行为, 但其在生化计量学上差别较大。其中厌氧段 $\Delta \text{PO}_4^{3-} / \Delta \text{HAc}$ 值、 $\Delta \text{Gly} / \Delta \text{HAc}$ 值和 $\Delta \text{PHA} / \Delta \text{HAc}$ 值分别由原来的 0.49、0.78 和 1.67 变为 0.71、0.59 和 1.46(见表 3)。可见微碱性条件下运行的 SBR_{n3} 具有更趋近高富集度 DPAO 的代谢路径, $\Delta \text{Gly} / \Delta \text{HAc}$ 值和 $\Delta \text{PHA} / \Delta \text{HAc}$ 值与经典的式(1)相吻合。



然而,糖原和PHV的变化显示系统存在糖原酵解作用。Welles等^[12]认为,除磷系统 $\Delta PO_4^{3-}/\Delta HAc$ 值在0.01~0.93 molP/molC之间,且与*Candidatus Accumulibacter*组成、Poly-P含量、pH值和GAO有关。该试验中, $\Delta PO_4^{3-}/\Delta HAc$ 值的变化表明系统展现了DPAO、GAO共存的混合代谢特征。

另外,从表3还可以看出,与1~60 d单独以 NO_3^- 为受体的SBR_{n5}相比^[2],优化后的SBR_{n3}可能发生与其相同的反硝化除磷代谢模式,但在等量受体下的磷去除率较低,这可能与 NO_2^- 反硝化产能系数较低及特定的DPAO流失有关。

2.3 pH值对厌氧释磷的影响

通过静态试验考察稳态污泥(pH值为7.8±0.5)在不同pH值条件下的厌氧释磷效果,结果如图4所示。可以看出,污泥的释磷量随着pH值的升高而增加。这是由于高pH值会减小质子的推动力,使污泥用于乙酸运输及转化所需的ATP增加,从而导致更多的Poly-P水解及磷释放^[9]。

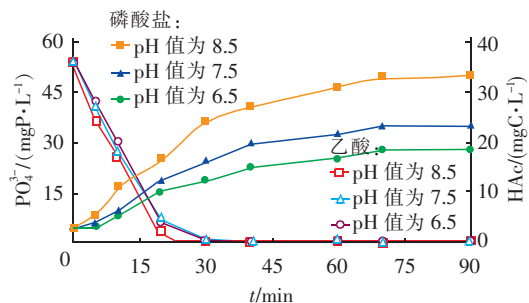


图4 pH值对污泥厌氧释磷的影响

Fig. 4 Effect of pH on anaerobic phosphorus release

在pH值为5.5~8.2条件下,1 mol的乙酸被

表4 稳态污泥中DPAO、GAO和OHO的变化

Tab. 4 Change of DPAO, GAO and OHO in stable sludge

厌氧段pH值	MLVSS/(mg·L ⁻¹)	DPAO/%	GAO/%	OHO/%	污泥含磷率/(mgP·mg ⁻¹ VSS)	DPAO含磷率/(mgP·mg ⁻¹ VSS _{DPAO})	SPRR/(mgP·g ⁻¹ VSS _{DPAO} ·h ⁻¹)
7.0±0.5	920	28~41	54~67	5	0.040	0.068~0.091	31.1~44.5
7.8±0.5	840	38~54	41~57	5	0.052	0.079~0.104	37.4~53.2

3 结论

通过运行以 NO_2^- 为受体的SBR_{n3}反应器,发现厌氧段pH值升高(由7.0±0.5升高至7.8±0.5)有利于改善系统的 NO_2^- 利用水平及磷去除率(由66%升高至78%)。物质转化规律及计量学分析表明,微碱性环境可以促使污泥趋近于经典的除磷厌氧生化模式,但依然呈现出DPAO和GAO混合代谢的特征。关联于pH值的 $\Delta PO_4^{3-}/\Delta HAc$ 计量学系数

聚磷菌吸收所需的能量 ΔG^0 与 ΔpH 值成正比,表现为式(1)中的相应系数($0.25 + \alpha_{PAO}$)。基于图4初始段 $\Delta PO_4^{3-}/\Delta HAc$ 值及维持系数为 3.0×10^{-3} mmolATP/(mmolC·h)的假设,可得到 α_{PAO} 和pH值的关系式: $\alpha_{PAO} = 0.12pH_{out} - 0.7767$ 。由此可知,本系统中污泥 $\Delta PO_4^{3-}/\Delta HAc$ 值与pH值的计量学系数 $0.25 + \alpha_{PAO}$ 为 $0.12pH_{out} - 0.5267$ 。与Smolders等的 $0.19pH_{out} - 0.85$ 相比,在常规pH值下本系统中 $\Delta PO_4^{3-}/\Delta HAc$ 值偏小,表明GAO的代谢活性较强,这也是pH值对厌氧释磷影响减弱的内因。

2.4 pH值对菌群生长的影响

综上所述,GAO在以 NO_2^- 为受体的除磷系统中普遍存在,且其生长和代谢受pH值的影响。按前期提出的方法^[2]对污泥中DPAO、GAO、OHO(一般异养菌)的含量变化进行估算(见表4),在pH值为7.8±0.5的系统中,DPAO在污泥中的占比由初始的28%~41%增加至38%~54%,而GAO则从54%~67%下降至41%~57%。数量仍然偏高的GAO可能与厌氧段一次性注入乙酸有关。Tu等^[13]认为,减慢乙酸的投加速度,降低其液相浓度有利于聚磷菌对GAO的竞争。另外,较低的MLVSS浓度,说明高pH值条件下系统耗散的能量增多,污泥合成量减少。从表4可以看出,在pH值为7.8±0.5条件下,含磷率(非聚磷菌的含磷率按0.02 mgP/mgVSS计)的升高与系统除磷效率的改善相一致,较高的Poly-P含量更利于DPAO趋向通过DPAO比磷酸盐释放速率(SPRR)的提升(糖原酵解途径减弱)获取乙酸基质^[12]。

- Hao Xiaodi, Li Tianyu, Wu Yuanyuan, et al. Discussion on suitability of A²/O process for upgrading of wastewater treatment plant [J]. China Water & Wastewater, 2017, 33(21):18–24 (in Chinese).
- [2] 蒋铁锋,朱润晔,郑建军,等. 亚硝酸盐为电子受体的反硝化除磷工艺特征[J]. 中国环境科学, 2008, 28(12):1094–1099.
- Jiang Yifeng, Zhu Runye, Zheng Jianjun, et al. Process characteristics of denitrifying dephosphatation using nitrite as electron acceptor [J]. China Environmental Science, 2008, 28(12):1094–1099 (in Chinese).
- [3] 吕小梅,李继,李朝林,等. 不同电子受体除磷污泥相似性与菌群结构研究[J]. 中国环境科学, 2014, 34(4):935–941.
- Lü Xiaomei, Li Ji, Li Chaolin, et al. Microbial similarity and community structure of phosphorus removal sludge with different electron acceptors [J]. China Environmental Science, 2014, 34(4):935–941 (in Chinese).
- [4] Pijuan M, Ye L, Yuan Z G. Free nitrous acid inhibition on the aerobic metabolism of poly-phosphate accumulating organisms[J]. Water Res, 2010, 44(20):6063–6072.
- [5] Zhou Y, Oehmen A, Lim M, et al. The role of nitrite and free nitrous acid (FNA) in wastewater treatment plants [J]. Water Res, 2011, 45(15):4672–4682.
- [6] Wang Y Y, Zhou S, Ye L, et al. Nitrite survival and nitrous oxide production of denitrifying phosphorus removal sludges in long-term nitrite/nitrate-fed sequencing batch reactors [J]. Water Res, 2014, 67:33–45.
- [7] Marcelino M, Wallaert D, Guisasola A, et al. A two-sludge system for simultaneous biological C, N and P removal via the nitrite pathway[J]. Water Sci Technol, 2011, 64(5):1142–1147.
- [8] Weissbrodt D G, Holliger C, Morgenroth E, et al. Modeling hydraulic transport and anaerobic uptake by PAOs and GAOs during wastewater feeding in EBPR granular sludge reactors[J]. Biotechnol Bioeng, 2017, 114(8):1688–1702.
- [9] Weissbrodt D G, Schneiter G S, Fürbringer J M, et al. Identification of trigger factors selecting for polyphosphate- and glycogen-accumulating organisms in aerobic granular sludge sequencing batch reactors [J]. Water Res, 2013, 47(19):7006–7018.
- [10] 胡筱敏,李微,刘金亮,等. pH对以亚硝酸盐为电子受体反硝化除磷的影响[J]. 中南大学学报:自然科学版, 2013, 44(5):2144–2149.
- Hu Xiaomin, Li Wei, Liu Jinliang, et al. Influence of pH on denitrifying phosphorus removal using nitrite as electron acceptor [J]. Journal of Central South University: Science and Technology, 2013, 44(5):2144–2149 (in Chinese).
- [11] Fang H H P, Zhang T, Liu Y. Characterization of an acetate-degrading sludge without intracellular accumulation of polyphosphate and glycogen [J]. Water Res, 2002, 36(13):3211–3218.
- [12] Welles L, Tian W D, Saad S, et al. Accumilibacter clades Type I and II performing kinetically different glycogen-accumulating organisms metabolisms for anaerobic substrate uptake[J]. Water Res, 2015, 83:354–366.
- [13] Tu Y J, Schuler A J. Low acetate concentrations favor polyphosphate-accumulating organisms over glycogen-accumulating organisms in enhanced biological phosphorus removal from wastewater [J]. Environ Sci Technol, 2013, 47(8):3816–3824.



作者简介:蒋铁锋(1978—),男,浙江上虞人,博士,副教授,主要研究方向为水处理技术。

E-mail:jyf@zjut.edu.cn

收稿日期:2018-11-08